

## 材料の力学1 Step 3 第9回演習問題 (2019/06/25 実施)

- [1] 図 1.1 に示すような長さ  $L$  の片持ちはりにおいて、OA 間に分布荷重  $p$  及びC 点に集中荷重  $P(=2pl)$  がそれぞれ下向きに作用している。また、はりの断面は図 1.2 に示す形状となっている。このとき以下の問い合わせよ。

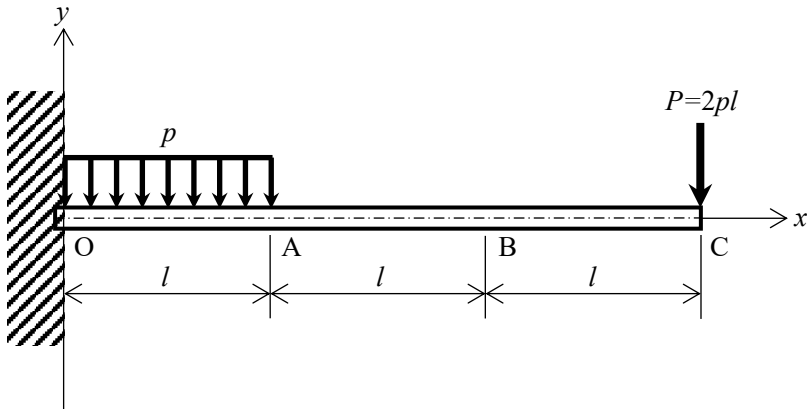


Fig. 1.1 分布荷重及び集中荷重を受ける片持ちはり。

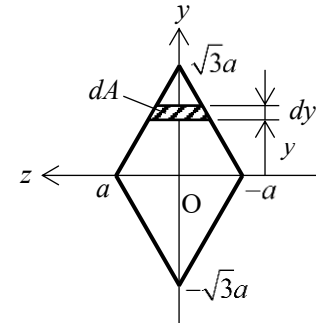


Fig. 1.2 片持ちはり  
断面形状。

- (1) 図 1.2 に示す斜線部の微小面積  $dA$  を求めることによりはりの  $z$  軸に関する断面 2 次モーメント  $I_z$  を求めよ。
- (2) はり全体の FBD を描き、壁から受ける反力  $R_0$  及び反モーメント  $M_0$  を求めよ。
- (3) 位置  $x$  の仮想断面においてはりに作用するせん断力  $Q(x)$  及び曲げモーメント  $M(x)$  を求め、SFD 及びBMD を描け。
- (4) はりに生じる最大曲げ応力  $\sigma_{\max}$  を求めよ。

- (1) 図 1.2 に示す斜線部の微小面積  $dA$  を求めることによりはりの  $z$  軸に関する断面 2 次モーメント  $I_z$  を求めよ。

断面は  $z$  軸対称であることから、 $z$  軸上部について考える。

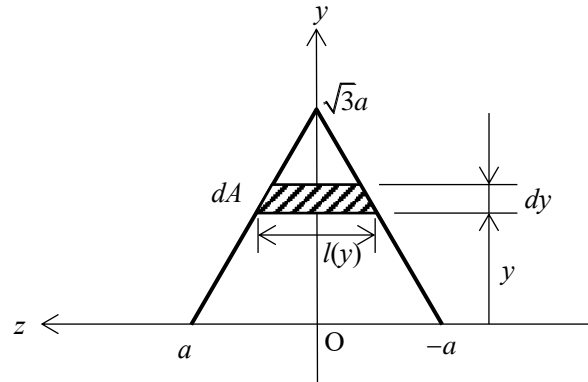


Fig. 1.3 はりの断面.

図 1.3 より微小面積  $dA$  は、

$$\begin{aligned} dA &= l(y)dy \\ &= 2 \left\{ a - \left( \frac{1}{\sqrt{3}} \right) y \right\} dy \end{aligned} \quad (1.1)$$

と分かる。したがって、 $z$  軸に関する断面 2 次モーメント  $I_z$  は次のように求められる。

$$\begin{aligned} \frac{I_z}{2} &= \int_A y^2 dA \\ &= \int_0^{\sqrt{3}a} y^2 \cdot 2 \left\{ a - \left( \frac{1}{\sqrt{3}} \right) y \right\} dy \\ &= 2a \int_0^{\sqrt{3}a} y^2 dy - \frac{2}{\sqrt{3}} \int_0^{\sqrt{3}a} y^3 dy \\ &= \frac{\sqrt{3}}{2} a^4 \end{aligned} \quad (1.2)$$

$$\therefore I_z = \sqrt{3}a^4 \quad (1.3)$$

(2) はり全体の FBD を描き、壁から受ける反力  $R_O$  及び反モーメント  $M_O$  を求めよ。

はり全体の FBD は次のようにある。

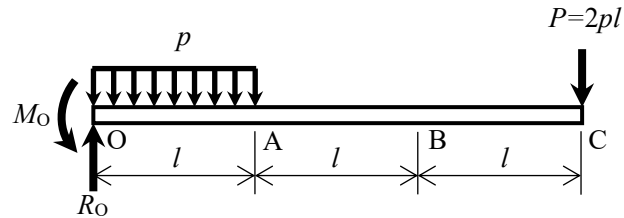


Fig. 1.4 はり全体の FBD.

図 1.4において、力のつり合い式は次のようにになる。

$$R_O - pl - P = 0 \quad (1.4)$$

反力  $R_O$  は、式(1.4)から次のように求められる。

$$\begin{aligned} R_O &= pl + P \\ &= 3pl \end{aligned} \quad (1.5)$$

また、O 点まわりのモーメントのつり合い式は次のようにになる。

$$-M_O + \int_0^l pxdx + P \cdot 3l = 0 \quad (1.6)$$

反モーメント  $M_O$  は、式(1.6)から次のように求められる。

$$\begin{aligned} M_O &= \int_0^l pxdx + P \cdot 3l \\ &= \frac{1}{2} pl^2 + 6pl^2 \\ &= \frac{13}{2} pl^2 \end{aligned} \quad (1.7)$$

(3) 位置  $x$  の仮想断面においてはりに作用するせん断力  $Q(x)$  及び曲げモーメント  $M(x)$  を求め, SFD 及び BMD を描け.

(i)  $0 \leq x \leq l$  のとき

はりの FBD は次のように描ける.

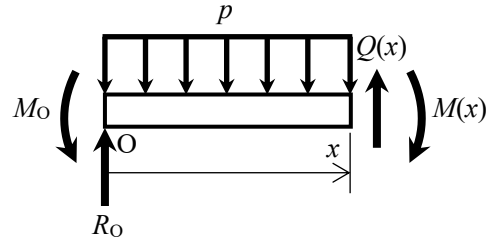


Fig. 1.5 はりの FBD ( $0 \leq x \leq l$ ).

図 1.5において, 力のつり合い式は次のようにになる.

$$R_O - px + Q(x) = 0 \quad (1.8)$$

せん断力  $Q(x)$  は, 式(1.8)から次のように求められる.

$$\begin{aligned} Q(x) &= px - R_O \\ &= px - 3pl \\ &= p(x - 3l) \end{aligned} \quad (1.9)$$

また, O 点まわりのモーメントのつり合い式は次のようにになる.

$$-M_O + \int_0^x pxdx - Q(x)x + M(x) = 0 \quad (1.10)$$

曲げモーメント  $M(x)$  は, 式(1.10)から次のように求められる.

$$\begin{aligned}
M(x) &= M_0 - \int_0^x pxdx + Q(x)x \\
&= \frac{13}{2}pl^2 - \frac{1}{2}px^2 + p(x-3l) \cdot x \\
&= \frac{1}{2}p(x^2 - 6lx + 13l^2)
\end{aligned} \tag{1.11}$$

(ii)  $l \leq x \leq 3l$  のとき

はりの FBD は次のように描ける。

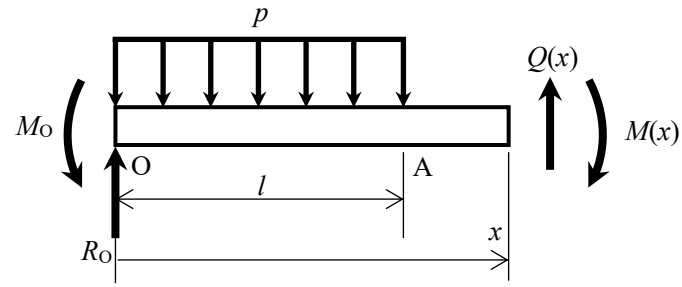


Fig. 1.6 はりの FBD ( $l \leq x \leq 3l$ ).

図 1.6において、力のつり合い式は次のようになる。

$$R_O - pl + Q(x) = 0 \tag{1.12}$$

せん断力  $Q(x)$  は、式(1.12)から次のように求められる。

$$\begin{aligned}
Q(x) &= pl - R_O \\
&= pl - 3pl \\
&= -2pl
\end{aligned} \tag{1.13}$$

また、O 点まわりのモーメントのつり合い式は次のようにになる。

$$-M_0 + \int_0^l pxdx - Q(x)x + M(x) = 0 \tag{1.14}$$

曲げモーメント  $M(x)$  は、式(1.14)から次のように求められる。

$$\begin{aligned}
 M(x) &= M_0 - \int_0^l pxdx + Q(x)x \\
 &= \frac{13}{2}pl^2 - \frac{1}{2}pl^2 - 2plx \\
 &= -2pl(x-3l)
 \end{aligned} \tag{1.15}$$

以上を用いると、SFD と BMD はそれぞれ次の図のようになる。

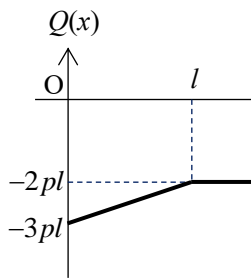


Fig. 1.7 SFD.

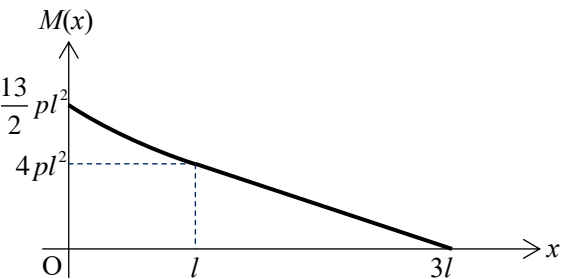


Fig. 1.8 BMD.

(4) はりに生じる最大曲げ応力  $\sigma_{\max}$  を求めよ。

最大曲げ応力  $\sigma_{\max}$  は、

$$\sigma_{\max} = \left| \frac{M_{\max}}{I_z} y \right| \tag{1.16}$$

と求められる。図 1.8 の BMD より  $x=0$  において最大曲げモーメント  $M_{\max}$  が生じ、

$$M_{\max} = \frac{13}{2}pl^2 \tag{1.16}$$

と分かる。最大曲げ応力  $\sigma_{\max}$  は最大曲げモーメント  $M_{\max}$  が作用する位置において  $z$  軸から最も離れた点、すなわち  $y = \pm\sqrt{3}a$  である点に作用する。したがって、 $y = \sqrt{3}a$  のときを考えることにより最大曲げ応力  $\sigma_{\max}$  は、

$$\sigma_{\max} = \left| \frac{M_{\max}}{I_z} y \right| = \left| \frac{\frac{13}{2} pl^2}{\sqrt{3}a^4} \cdot \sqrt{3}a \right| = \frac{13pl^2}{2a^3} \quad (1.17)$$

と求められる。

- [2] 図2.1に示すような長さ $3L$ のはりにおいてA点に長さ $2L$ の剛体レバーがついている。剛体レバーには分布荷重 $p$ が下向きに、C点には集中荷重 $P$ が下向きに作用している。また、はりの断面は図2.2に示す形状となっている。このとき以下の問い合わせに答えよ。ただし、 $P=4pL$ である。

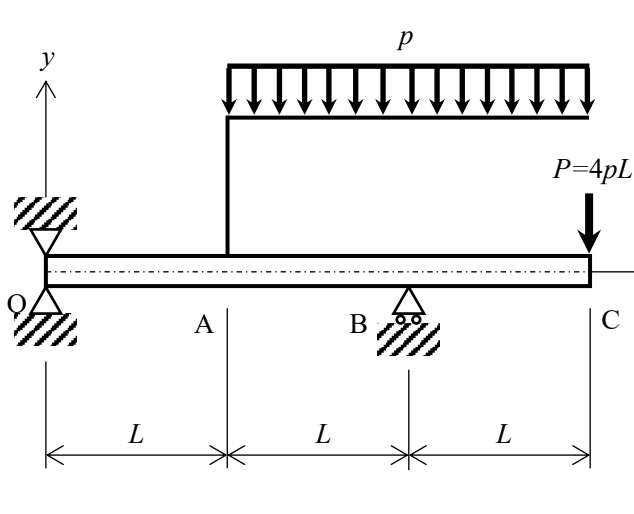


Fig. 2.1 剛体レバーが付いたはり。

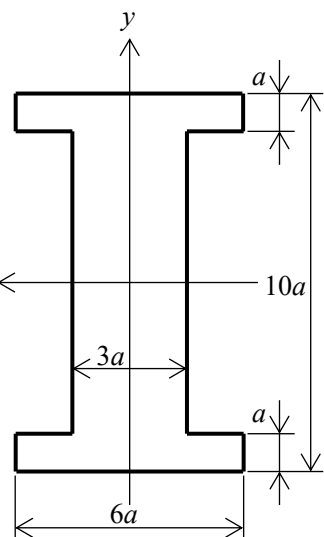


Fig. 2.2 はりの断面形状。

- (1) はりの $z$ 軸に関する断面2次モーメント $I_z$ を求めよ。
- (2) 剛体レバーのFBDを描き、A点での反力 $R_A$ 、反モーメント $M_A$ を求めよ。ただし、以下の問い合わせにおいて、反力は $y$ 軸方向を正、反モーメントは反時計回りを正とする。
- (3) O、B点における支点反力 $R_O$ 、 $R_B$ を求めよ。
- (4) はりに生じるせん断力 $Q(x)$ 、曲げモーメント $M(x)$ を求め、SFDとBMDを描け。
- (5) はりに生じる最大曲げ応力 $\sigma_{\max}$ および生じる位置 $(x, y)$ を求めよ。

(1) はりの  $z$  軸に関する断面 2 次モーメント  $I_z$  を求めよ.

$z$  軸が幅  $b$ , 高さ  $h$  の長方形断面の図心を通る場合,  $z$  軸に関する断面 2 次モーメント  $I_z$  は次式のようになる.

$$I_z = \frac{1}{12}bh^3 \quad (2.1)$$

はりの断面 2 次モーメントは, 図 2.3 に示す通り幅  $6a$ , 高さ  $10a$  の長方形の断面 2 次モーメントから幅  $1.5a$ , 高さ  $8a$  の長方形の断面 2 次モーメントの 2 倍を引くことにより求めることができる. よって, はりの断面 2 次モーメント  $I_z$  は次式の通りとなる.

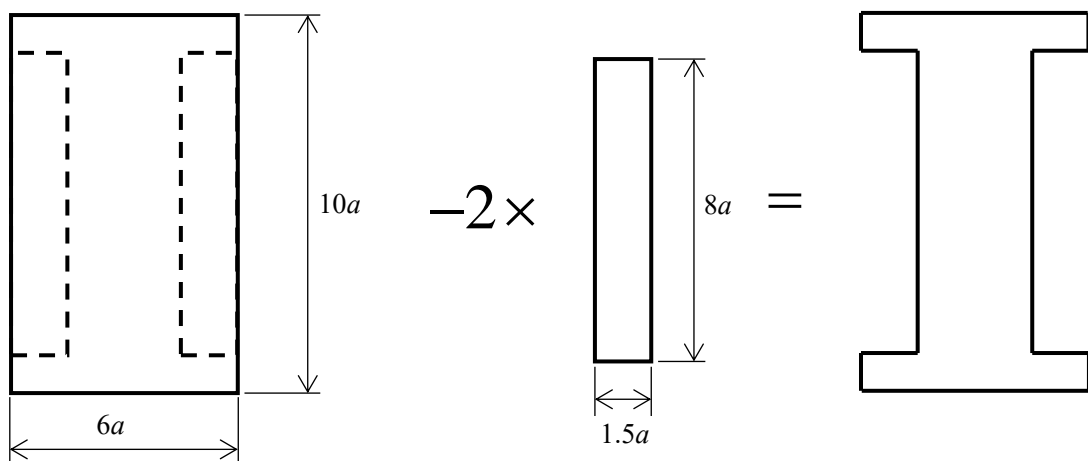


Fig. 2.3 断面 2 次モーメントの導出方法.

$$\begin{aligned} I_z &= \frac{1}{12} \times 6a \times (10a)^3 - 2 \times \frac{1}{12} \times 1.5a \times (8a)^3 \\ &= 500a^4 - 128a^4 \\ &= 372a^4 \end{aligned} \quad (2.2)$$

- (2) 剛体レバーの FBD を描き、A 点での反力  $R_A$ 、反モーメント  $M_A$  を求めよ。ただし、以下の問い合わせにおいて、反力は  $y$  軸方向を正、反モーメントは反時計回りを正とする。

図 2.4 に剛体レバーの FBD を示す。

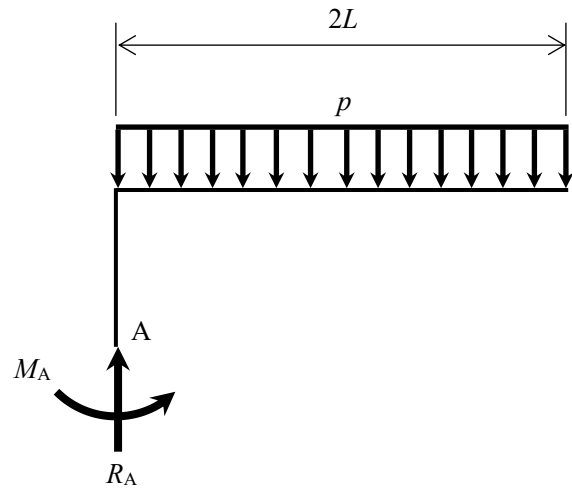


Fig. 2.4 剛体レバーの FBD.

力のつり合い式より、

$$\begin{aligned} R_A - 2pL &= 0 \\ R_A &= 2pL \end{aligned} \tag{2.3}$$

A 点まわりのモーメントのつり合い式より、

$$\begin{aligned} -M_A + \int_0^{2L} pxdx &= 0 \\ M_A &= \int_0^{2L} pxdx \\ &= \left[ \frac{1}{2} px^2 \right]_0^{2L} \\ &= 2pL^2 \end{aligned} \tag{2.4}$$

(3) O, B 点における支点反力  $R_O$ ,  $R_B$  を求めよ.

図 2.5 にはり全体の FBD を示す. なお, A 点に生じる力およびモーメントは(2)で導出した反力  $R_A$ , 反モーメント  $M_A$  から作用・反作用により求めることができる.

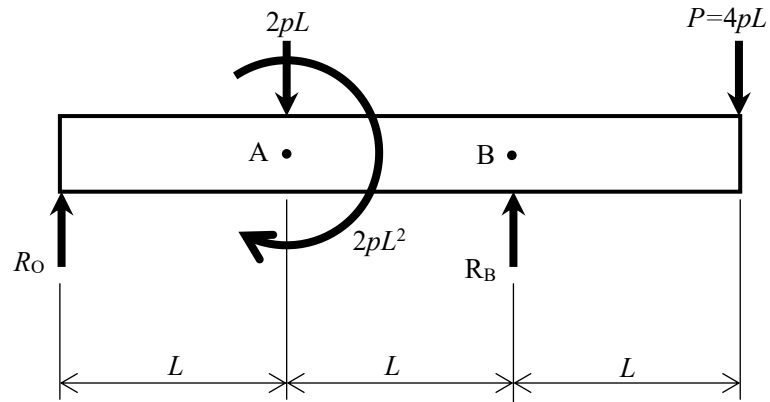


Fig. 2.5 はり全体の FBD.

力のつり合い式より,

$$\begin{aligned} R_O + R_B - 2pL - 4pL &= 0 \\ R_O + R_B &= 6pL \end{aligned} \tag{2.5}$$

O 点まわりのモーメントのつり合い式より,

$$\begin{aligned} -R_B \times 2L + 2pL \times L + 2pL^2 + 4pL \times 3L &= 0 \\ R_B &= \frac{2pL \times L + 2pL^2 + 4pL \times 3L}{2L} \\ &= \frac{16pL^2}{2L} \\ &= 8pL \end{aligned} \tag{2.6}$$

よって, 支点反力  $R_O$  は式(2.5), (2.6)より,

$$R_O = -2pL \tag{2.7}$$

(4) はりに生じるせん断力  $Q(x)$ , 曲げモーメント  $M(x)$ を求める, SFD と BMD を描け.

(i)  $0 \leq x \leq L$  のとき

図 2.6 に FBD を示す.

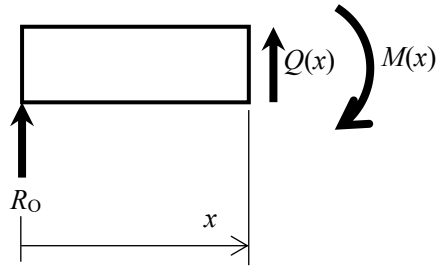


Fig. 2.6 はりの FBD ( $0 \leq x \leq L$ ).

力のつり合い式より,

$$\begin{aligned} R_o + Q(x) &= 0 \\ Q(x) &= -R_o \\ &= 2pL \end{aligned} \tag{2.8}$$

O 点まわりのモーメントのつり合い式より式(2.8)を踏まえると,

$$\begin{aligned} M(x) - Q(x) \times x &= 0 \\ M(x) &= Q(x) \times x \\ &= 2pLx \end{aligned} \tag{2.9}$$

(ii)  $L \leq x \leq 2L$  のとき

図 2.7 に FBD を示す.

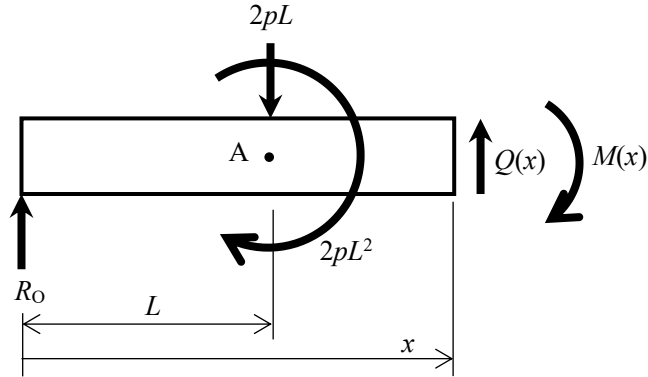


Fig. 2.7 はりの FBD ( $L \leq x \leq 2L$ ).

力のつり合い式より,

$$\begin{aligned}
 R_o - 2pL + Q(x) &= 0 \\
 Q(x) &= 2pL - R_o \\
 &= 4pL
 \end{aligned} \tag{2.10}$$

O 点まわりのモーメントのつり合い式より式(2.10)を踏まえると,

$$\begin{aligned}
 M(x) + 2pL \times L + 2pL^2 - Q(x) \times x &= 0 \\
 M(x) &= Q(x) \times x - 2pL \times L - 2pL^2 \\
 &= 4pL(x - L)
 \end{aligned} \tag{2.11}$$

(iii)  $2L \leq x \leq 3L$  のとき

図 2.8 に FBD を示す.

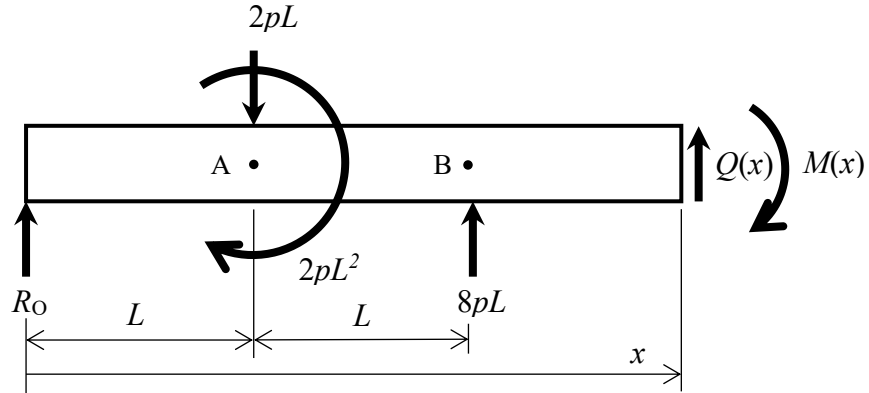


Fig. 2.8 はりの FBD ( $2L \leq x \leq 3L$ ).

力のつり合い式より,

$$\begin{aligned}
 R_o - 2pL + 8pL + Q(x) &= 0 \\
 Q(x) &= 2pL - 8pL - R_o \\
 &= -4pL
 \end{aligned} \tag{2.12}$$

O 点まわりのモーメントのつり合い式より式(2.12)を踏まえると,

$$\begin{aligned}
 M(x) + 2pL \times L + 2pL^2 - 8pL \times 2L - Q(x) \times x &= 0 \\
 M(x) = Q(x) \times x - 2pL \times L + 2pL^2 + 8pL \times 2L & \\
 &= 4pL(3L - x)
 \end{aligned} \tag{2.13}$$

以上より求めたせん断力  $Q(x)$  と曲げモーメント  $M(x)$  から SFD と BMD はそれぞれ図 2.9 と図 2.10 で表される。

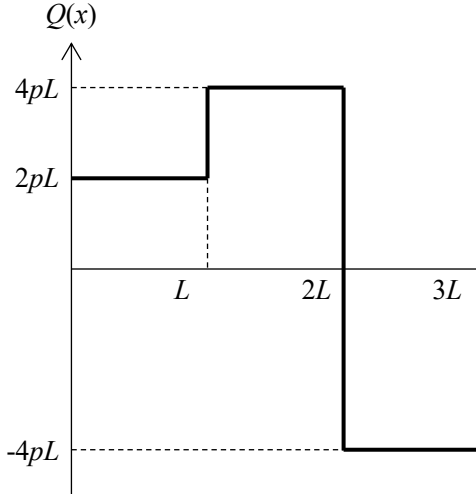


Fig. 2.9 SFD.

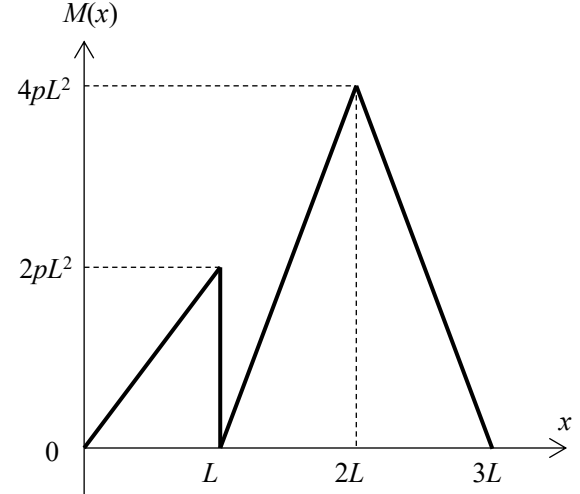


Fig. 2.10 BMD.

(5) はりに生じる最大曲げ応力  $\sigma_{\max}$  および生じる位置  $(x, y)$  を求めよ。

最大曲げ応力  $\sigma_{\max}$  は曲げモーメント  $M(x)$  の大きさが最大となり  $z$  軸から最も離れた点に作用する。図 2.2 および図 2.10 より、最大曲げ応力  $\sigma_{\max}$  が生じる点は  $(x, y)=(2L, 5a)$  と分かる。また、BMD より  $x=2L$  において最大曲げモーメント  $M_{\max}=4pL^2$  が生じることが分かる。よって、最大曲げ応力  $\sigma_{\max}$  は、

$$\begin{aligned}\sigma_{\max} &= \left| \frac{M_{\max}}{I_z} y \right| \\ &= \left| \frac{4pL^2}{372a^4} \times 5a \right| \\ &= \frac{5pL^2}{93a^3}\end{aligned}\tag{2.14}$$

となる。